

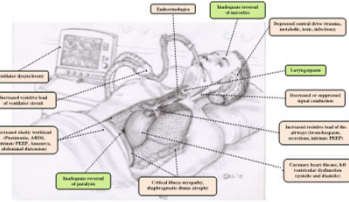
SEVRAGE RESPIRATOIRE DIFFICILE: ORIGINE CARDIAQUE?

Pr Alexandre OUATTARA
Service d'Anesthésie-Réanimation cardiovasculaire
Biologie des maladies cardiovaskulaires, INSERM UMR 1034
Hôpital Haut-Lévêque, Université de Bordeaux, France
Email: alexandre.ouattara@chu-bordeaux.fr




CHU
université
BORDEAUX
Inserm

ECHEC DU SEVRAGE RESPIRATOIRE: DES ORIGINES DIVERSES...



Perren A et al. Intensive Care Med 2013; 39:1885-95

Teboul et al. Critical Care 2010, 14:211
<http://ccforum.com/14/2/211>

CRITICAL CARE

REVIEW

Weaning failure of cardiac origin: recent advances

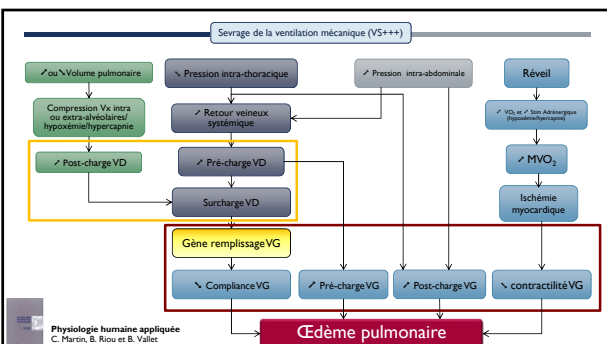
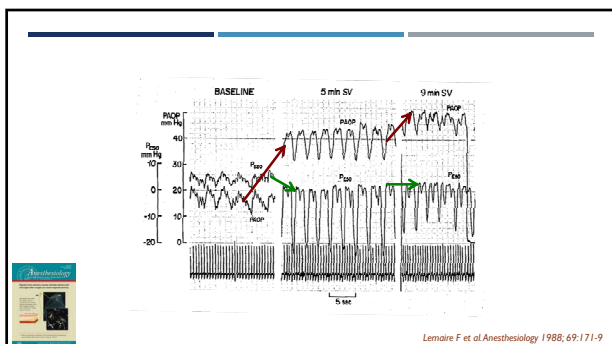
Jean-Louis Teboul*, Xavier Monnet, and Christian Richard

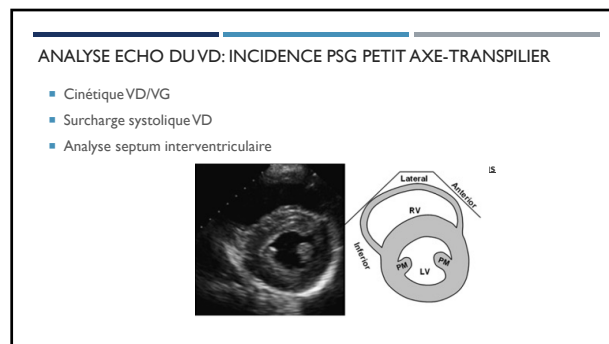
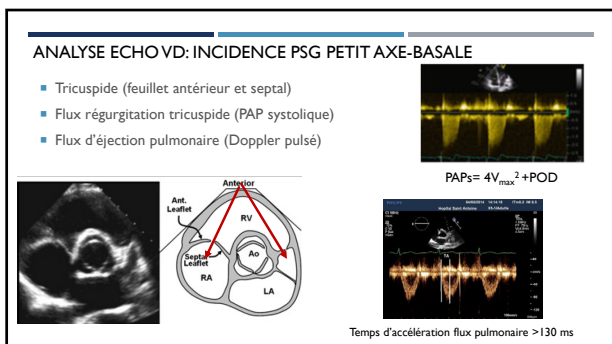
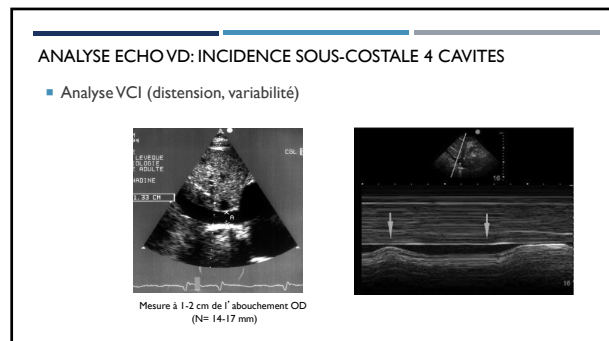
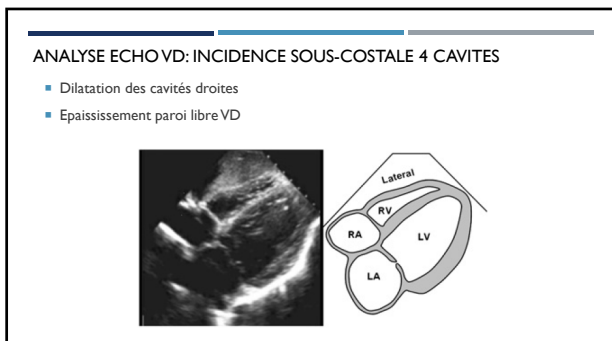
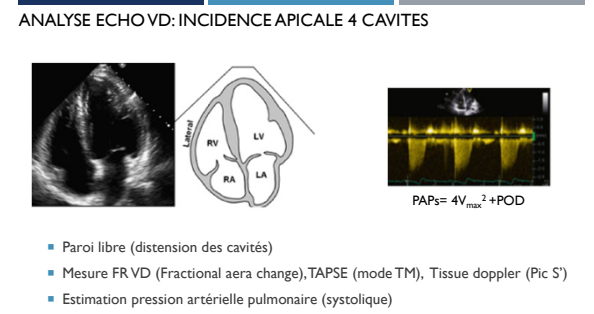
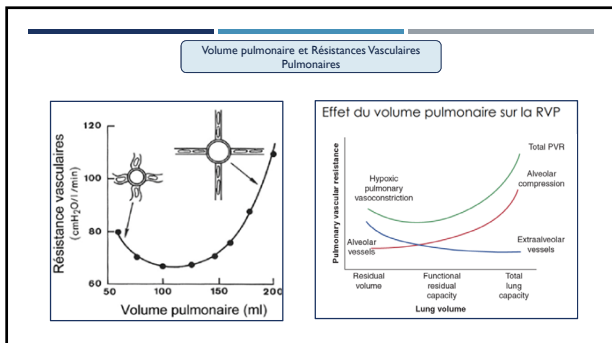
Acute Left Ventricular Dysfunction during Unsuccessful Weaning from Mechanical Ventilation

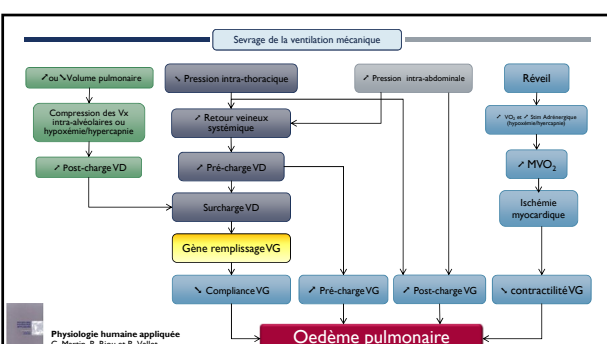
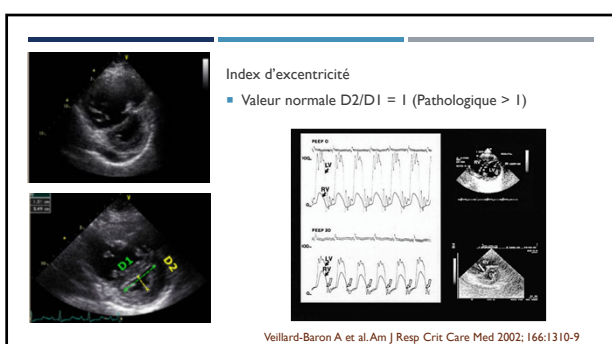
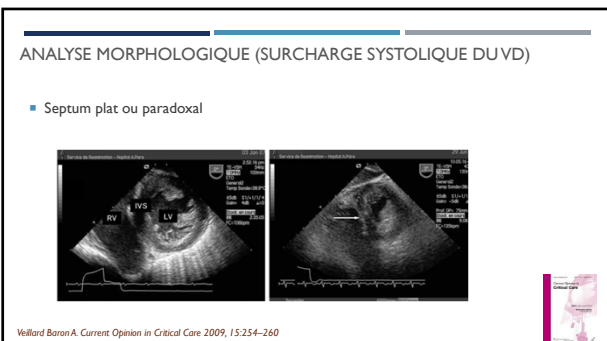
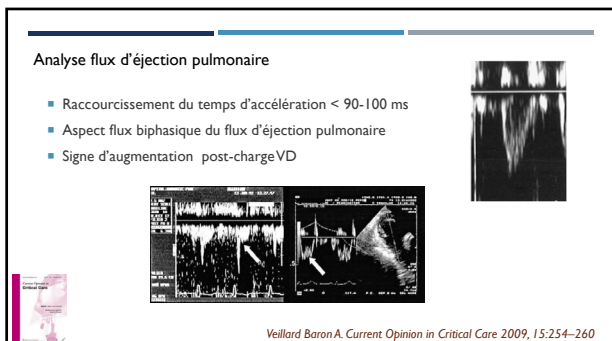
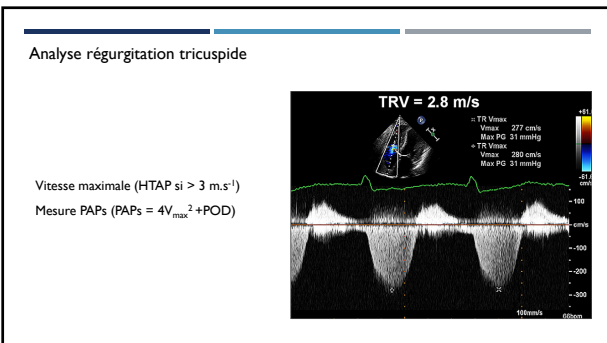
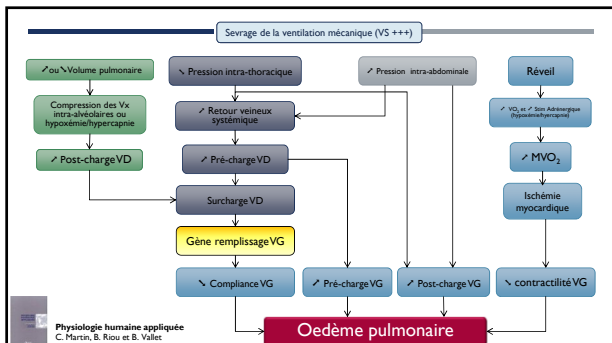
15 pts BPCO porteurs pathologie cardiaque

- Passage en ventilation spontanée (10 min)
- Pression oesophagienne \downarrow de +5 à -2 mmHg
- DC \nearrow de 3,2 à 4,3 L.min $^{-1}$
- FC \nearrow de 77 à 90 bpm
- PAPO \nearrow 8 à 20 mmHg

Lemaire F et al. Anesthesiology 1988;69:171-9







- 7 patients BPCO
- Sans dysfonction cardiaque gauche préalable
- Cathéter de Swan-Ganz
 - Augmentation PAP 25 à 28 mmHg au sevrage
 - Pas de modification significative FEVD 0,36 à 0,35
 - **Volume téle-diastolique VD 117 à 126 ml**

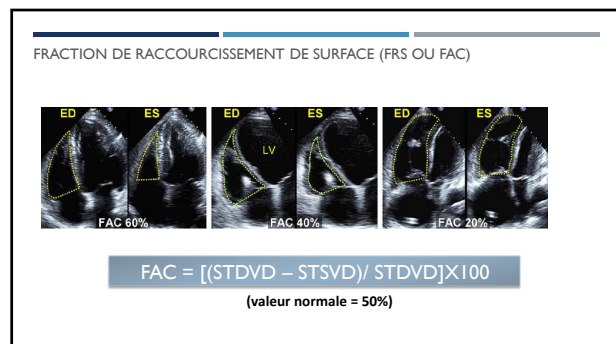
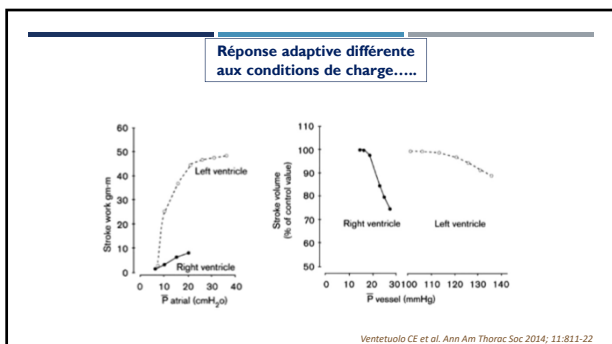
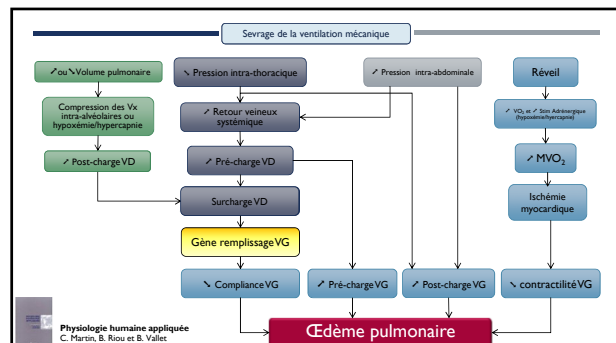
Teboul JL. Intensive Care Med. 1988;14 Suppl 2:483-5

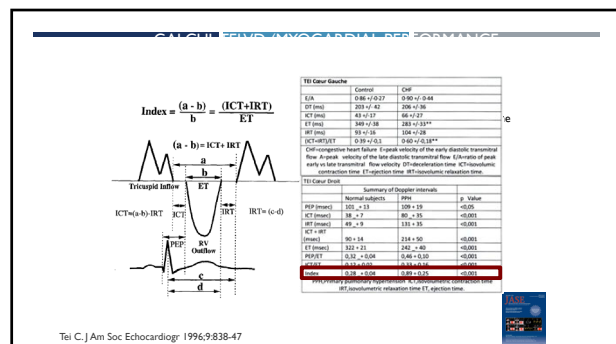
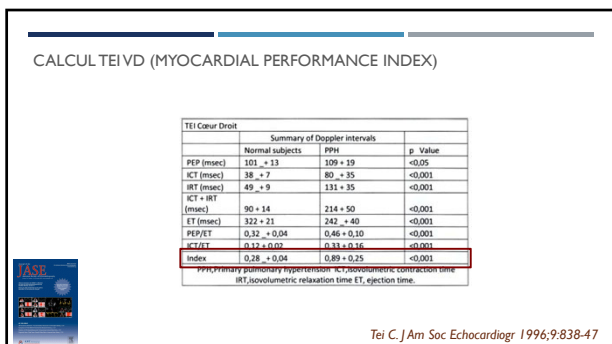
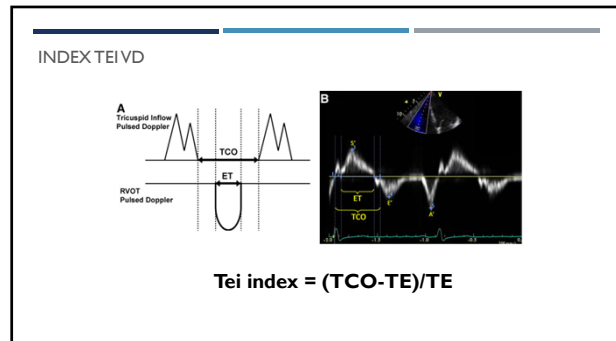
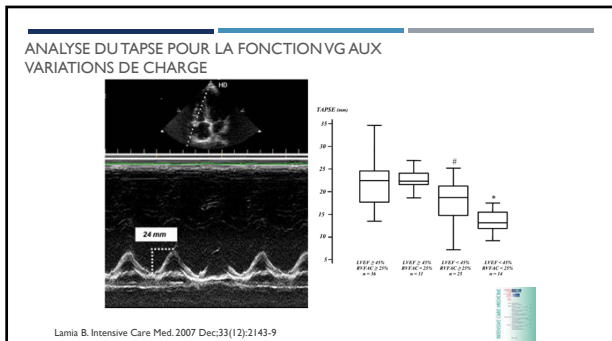
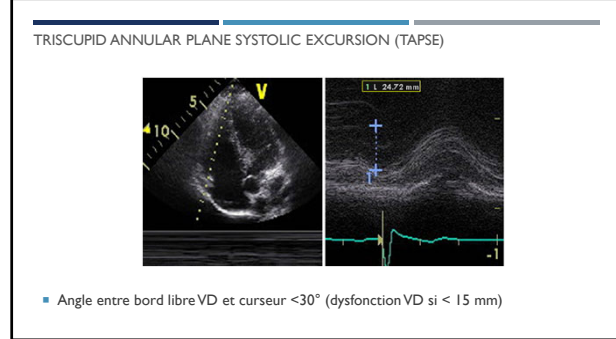
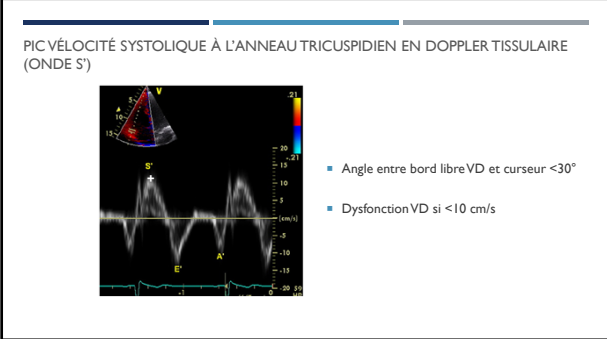


Incidence sous-costale 4 cavités (centrée sur VCI)

Table 3 Estimation of RA pressure on the basis of IVC diameter and collapse

Variable	Normal (ϕ 6-12) mm Hg	Intermediate (ϕ 13-18) mm Hg	High (ϕ 19 mm Hg)
IVC diameter	≤ 2.1 cm	≤ 2.1 cm	> 2.1 cm
Collapse with truff	$> 50\%$	$> 50\%$	$< 50\%$
Secondary indices of elevated RA pressure			<ul style="list-style-type: none"> ▪ Restrictive filling ▪ Thrombus E/E' > 6 ▪ Diastolic flow predominance in hepatic veins systolic filling fraction < 50%





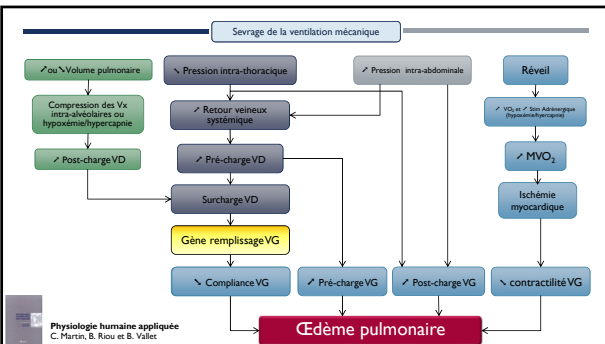
FACTEURS PRÉDICTIFS DYSFONCTION VD

	Sensitivity (%)	Specificity (%)	ROC AUC (95% CI)
TAPSE <1.5 cm	59	94	0.82 (.68–.95)
DTI peak systolic velocity <10 cm/s	59	92	0.83 (.72–.85)
MPI > 0.40	100	35	0.8 (.69–.91)

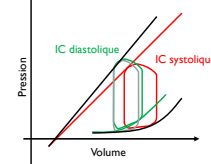
* MPI= myocardial performance index

Variable	Unit	Abnormal	Illustration
Chamber dimensions			
RV basal diameter	cm	>4.2	Figure 7
RA major diameter	cm	>5.5	Figure 5
RA minor diameter	cm	>3.5	Figure 3
PA distal diameter	cm	>2.7	Figure 8
PA proximal diameter	cm	>3.3	Figure 8
PA major diameter	cm	>4.5	Figure 3
PA minor diameter	cm	>3.5	Figure 3
PA end-systolic area	cm ²	>18	Figure 3
Stroke volume	ml		
TAPSE	cm	<1.6	Figure 17
Pulsed Doppler peak velocity mitral annulus	cm/s	<10	Figure 16
Pulsed Doppler MPI	—	>0.40	Figure 16
Transesophageal MPI	—	>0.50	Figures 16 and 18
FAC (%)	%	<50	Figure 16
Diastolic function			
E/A ratio	—	>0.8 or <0.1	Figure 16
E/E' ratio	—	>10	Figure 16
Deceleration time (ms)	ms	>200	Figure 16

J Am Soc Echocardiogr 2010;23:685-713



LA BOUCLE PRESSION /VOLUME



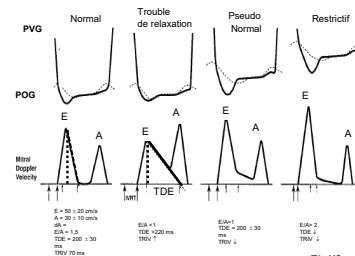
Echocardiographic diagnosis of pulmonary artery occlusion pressure elevation during weaning from mechanical ventilation*

Bouchra Lamia, MD, MPH, PhD; Julien Maizel, MD; Ana Ochagavia, MD; Denis Chemla, MD, PhD; David Osman, MD; Christian Richard, MD; Jean-Louis Teboul, MD, PhD

- 39 patients en échec de mise en RS
- Augmentation PAPO chez 17 patients
- Analyse échographique

Bouchra L, Crit Care Med 2009; 37:1696–1701

ANALYSE DU PROFIL TRANSMITRAL



Zile MR et al. Circulation 2002; 105:1387-1393

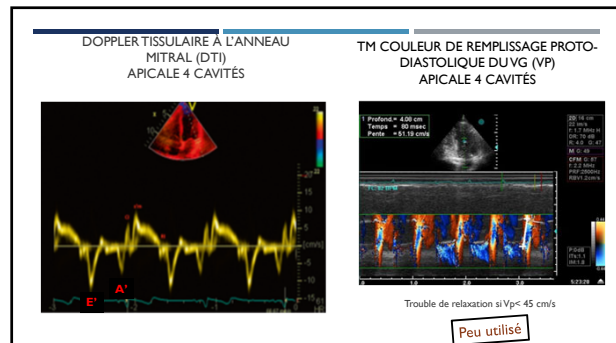
Flux transmital et évaluation des pression de remplissage

Ajuster flux transmital à un paramètre spécifique de relaxation

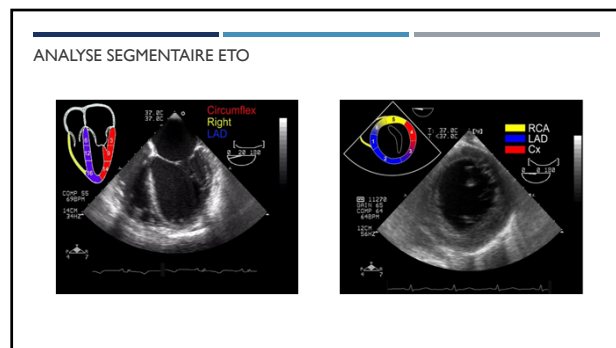
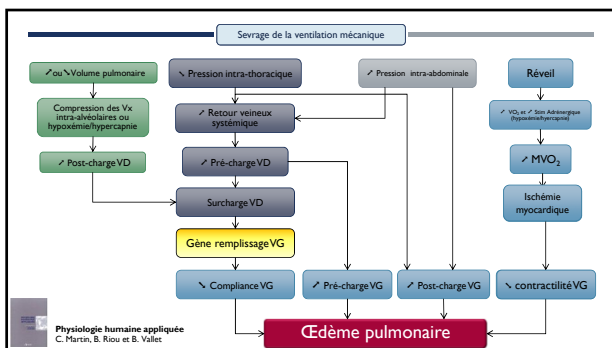
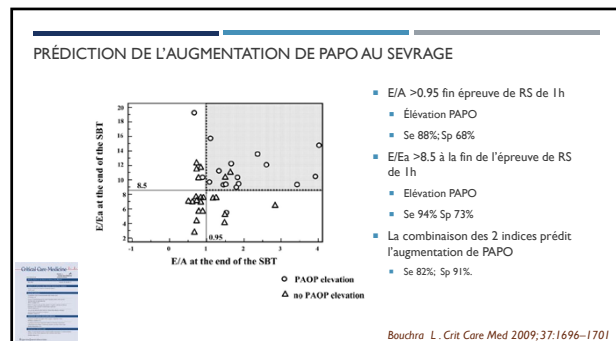
Flux TM (E) \approx Relaisation \times Pression de remplissage
Relaisation

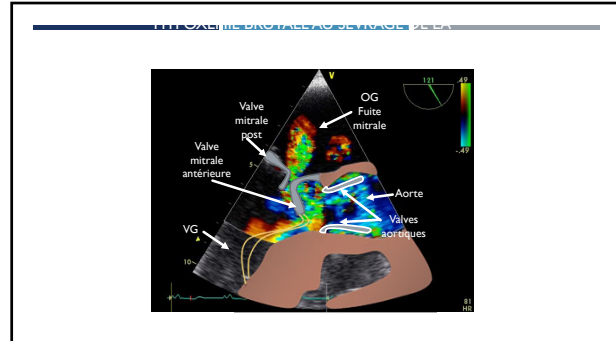
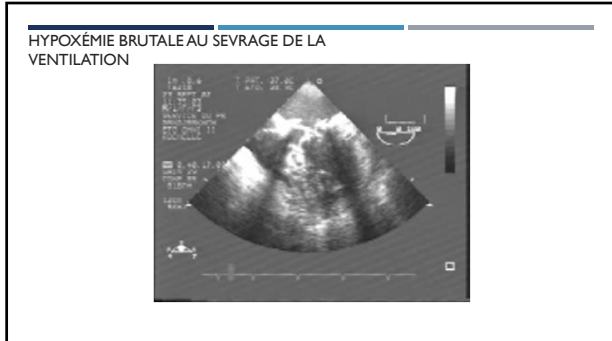
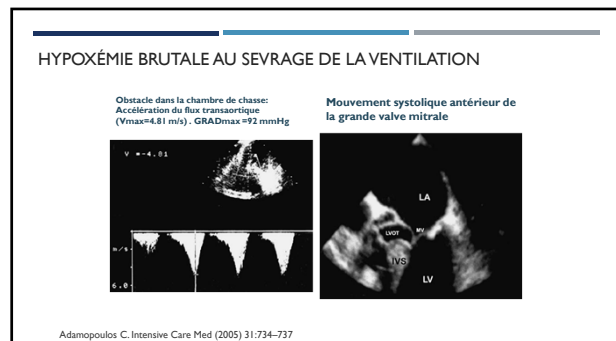
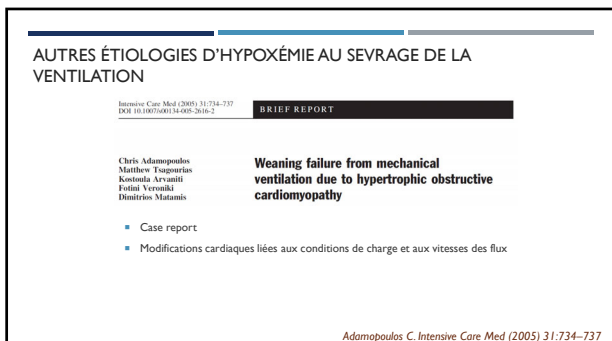
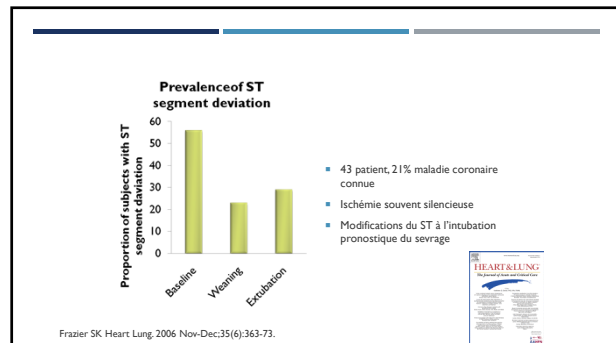
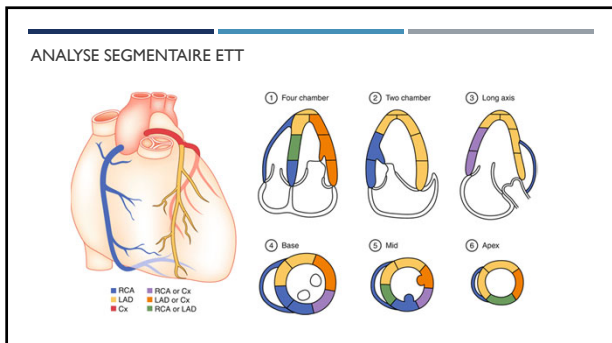
- Doppler pulsé tissulaire à l'anneau mitral (dT)

- TM couleur de remplissage proto-diastolique du VG (Vp)

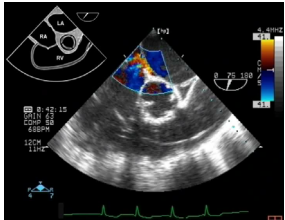


FONCTION DIAST	Normal	Pseudo-normal (type 2)	Anomalie relaxation (type 1)	Anomalie compliance (type 3)
Rapport E/A	> 1	> 1	< 1	> 2
Tps décélérat° onde E	160-240	160-240	> 240	< 160
TRIV ms)	70-120	70-120	> 120	< 70
E/Ea	< 8	> 15	> 15	> 15
E/Vp	< 1.5	> 2.5	> 2.5	> 2.5
Rapport S/D	> 1	< 1	> 1	< 1
Durée Ap/Amit	$A_{mi} > A_p$	$A_{mi} < A_p$	$A_{mi} > A_p$	$A_{mi} < A_p$

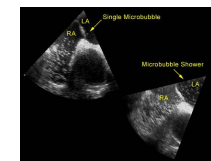
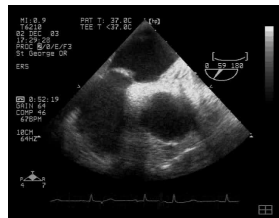




FORAMEN OVALE PERMÉABLE (FOP)



MANŒUVRE DE VALSALVA ET TEST DE CONTRASTE



EPREUVE DE CONTRASTE

- Distinction Foramen Ovale Perméable (FOP) et Shunt Intra Pulmonaire (SIP)
 - FOP : passage immédiat (moins de 3 battements cardiaques) des microbulles dans les cavités gauches dès leur apparition dans les cavités droites
 - SIP : passage retardé (plus de 3 battements cardiaques)
- Mais...
 - FOP > 3 battements si dépendant de la ventilation
 - SIP < 3 battements si proximal

CONCLUSION

- Le sevrage respiratoire peut être en échec dès les premières heures
 - Étiologie respiratoire
 - Modification des conditions de charge VG/VD +++
- ETT , ETO permettent d'évoquer le diagnostic
 - Rôle des indices combinés reste à valider dans cette indication
 - Limites classiques liées à une pathologie préexistante ou à des anomalies rythmiques
 - Cathétérisme de Swan-Ganz peut se révéler intéressant mais reste invasif
- Traitement vise à améliorer les conditions de charge
 - Déplétion hydrique, dérivés nitrés, inhibiteurs calciques, milrinone...